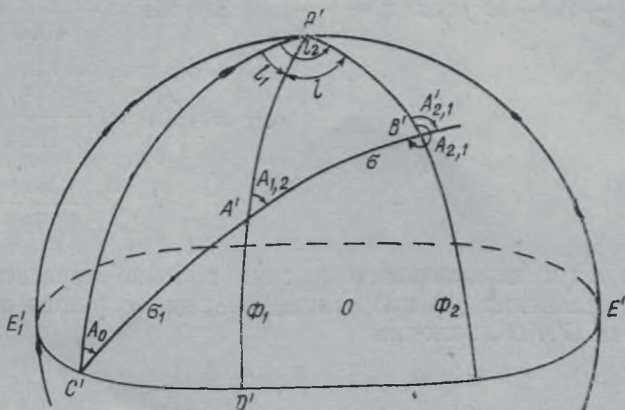


*M. I. РУСИН*

## РЕШЕНИЕ ГЕОДЕЗИЧЕСКИХ ЗАДАЧ НА БОЛЬШИЕ РАССТОЯНИЯ ПО ЦЕНТРАЛЬНОМУ СЕЧЕНИЮ

Вопросы решения геодезических задач на большие расстояния по центральному сечению рассматриваются рядом авторов: в работе [2] определяется длина дуги центрального сечения между заданными точками эллипсоида, независимо путь ее нахождения указывается в работе [1], формулы определения длины и азимутов приводятся в работе [3]. Цель настоящей статьи — привести решение указанных задач к удобному для практического применения виду.



Пусть на эллипсоиде  $s$  — дуга центрального сечения между точками  $A$  и  $B$ ,  $\alpha$  и  $\Phi$  — соответственно азимут и геоцентрическая широта в текущей ее точке,  $l$  — разность долгот конечных точек дуги. При геоцентрическом изображении точек эллипсоида на шаре (см. рисунок) их сферические широты и долготы соответственно равны геоцентрическим широтам и долготам, а формулы [3]

$$\frac{\operatorname{tg} \alpha}{\operatorname{tg} A} = \frac{\cos \Phi}{\cos B} W^2; \quad (1)$$

$$s = \frac{a}{\alpha_1} [\sigma'' + \beta \sin \sigma \cos (2\sigma_1 + \sigma) - \gamma \sin 2\sigma \cos 2(2\sigma_1 + \sigma) - \delta \sin 3\sigma \cos 3(2\sigma_1 + \sigma) - \varepsilon \sin 4\sigma \cos 4(2\sigma_1 + \sigma)] \quad (2)$$

устанавливают связь между  $a$  и  $A$ ,  $s$  и  $\sigma$ . Здесь  $\sigma$  — сферическое изображение центрального сечения,  $A$  — его азимут в текущей точке. Формула (2) в несколько ином виде, с удержанием малых величин порядка  $e^4$  приводится в работе [2],  $e^6$  — в работе [3].

Решая (2) относительно  $\sigma$ , имеем

$$\begin{aligned}\sigma'' = \frac{s}{a} \alpha_1 - \beta \sin \sigma \cos(2\alpha_1 + \sigma) + \gamma \sin 2\sigma \cos 2(2\alpha_1 + \sigma) + \\ + \delta \sin 3\sigma \cos 3(2\alpha_1 + \sigma) + \varepsilon \sin 4\sigma \cos 4(2\alpha_1 + \sigma).\end{aligned}\quad (3)$$

Входящие в формулы (2) и (3)  $\alpha_1$ ,  $\beta$ ,  $\gamma$ ,  $\delta$ ,  $\varepsilon$  выражаются так:

$$\begin{aligned}\alpha_1 = \rho'' \left[ 1 + \frac{1}{4} (e^2 + e^4 + e^6 + e^8) \cos^2 \alpha_0 - \frac{9}{64} (e^4 + 2e^6 + 3e^8) \cos^4 \alpha_0 + \right. \\ \left. + \frac{23}{256} (e^6 + 3e^8) \cos^6 \alpha_0 - \frac{1021}{16384} e^8 \cos^8 \alpha_0 \right]; \\ \beta = \rho'' \left[ \frac{1}{4} (e^2 + e^4 + e^6 + e^8) \cos^2 \alpha_0 - \frac{1}{8} (e^4 + 2e^6 + 3e^8) \cos^4 \alpha_0 + \right. \\ \left. + \frac{53}{512} (e^6 + 3e^8) \cos^6 \alpha_0 - \frac{95}{1024} e^8 \cos^8 \alpha_0 \right]; \\ \gamma = \rho'' \left[ \frac{1}{128} (e^4 + 2e^6 + 3e^8) \cos^4 \alpha_0 - \frac{1}{128} (e^6 + 3e^8) \cos^6 \alpha_0 - \frac{5}{4096} e^8 \cos^8 \alpha_0 \right]; \\ \delta = \rho'' \left[ \frac{5}{512} (e^6 + 3e^8) \cos^6 \alpha_0 - \frac{15}{1024} e^8 \cos^8 \alpha_0 \right]; \\ \varepsilon = \rho'' \left[ \frac{261}{65536} e^8 \cos^8 \alpha_0 \right].\end{aligned}\quad (4)$$

Здесь  $\alpha_0$  — азимут центрального сечения в точке пересечения его с экватором. Из уравнения (1) получим  $\alpha_0 = A_0$ ; далее, решая прямоугольный треугольник  $C'A'D'$ , находим

$$\sin A_0 = \sin A_{12} \cos \Phi_1, \quad (5)$$

а также

$$\operatorname{tg} \sigma_1 = \sec A_{12} \operatorname{tg} \Phi_1. \quad (6)$$

Последний член формулы (2) не превышает 0,06 мм, поэтому при точности вычисления  $s$  в 0,1 мм указанным членом можно пренебречь. Тогда

$$\sigma'' = \sigma_0'' + I + II + III; \quad (7)$$

$$s = \frac{a}{\alpha_1} (\sigma'' - I - II - III), \quad (8)$$

где

$$\sigma_0'' = \frac{s}{a} \alpha_1; \quad (9)$$

$$\begin{aligned}I &= -\beta \sin \sigma \cos(2\alpha_1 + \sigma); \\ II &= \gamma \sin 2\sigma \cos 2(2\alpha_1 + \sigma); \\ III &= \delta \sin 3\sigma \cos 3(2\alpha_1 + \sigma).\end{aligned}\quad (10)$$

После разложения поправочных членов формулы (7) в ряд получим, аналогично [5],

$$\sigma'' = \sigma_0'' + I_0 + II_0 + III_0 + I_0 \frac{dI}{d\sigma} + I_0 \left( \frac{dI}{d\sigma} \right)^2 + I_0 \frac{dII}{d\sigma} + II_0 \frac{dI}{d\sigma} + \frac{1}{2} I_0^2 \frac{d^2 I}{d\sigma^2}, \quad (11)$$

где

$$\begin{aligned} \frac{dI}{d\sigma} &= \frac{\beta}{\rho''} \cos 2(\sigma_1 + \sigma); \\ \frac{dII}{d\sigma} &= 2 \frac{\gamma}{\rho''} \cos 4(\sigma_1 + \sigma); \\ \frac{d^2 I}{d\sigma^2} &= -2 \frac{\beta}{\rho''} \sin 2(\sigma_1 + \sigma). \end{aligned} \quad (12)$$

Вычисление по формуле (11), в отличие от формулы (7), не требует применения последовательных приближений, так как все функции  $\sigma$  вычисляются здесь при значении  $\sigma = \sigma_0$ . Выведенные формулы дают возможность вычислять  $s$  с точностью 0,1 мм при удержании в коэффициентах  $a_1$ ,  $\beta$  и  $\gamma$  членов с  $e^6$ . Однако в большинстве случаев на практике целесообразно ограничиться точностью в 0,1 м при вычислении расстояний и 0'',001 — при вычислении координат и азимутов. Тогда в формулах для  $s$  и  $\sigma$  достаточно удерживать члены с  $e^6$ , причем  $\delta$  можно считать равным нулю. Следовательно,

$$s = \frac{a}{a_1} [\sigma'' - I - II]; \quad (13)$$

$$\sigma'' = \sigma_0'' + I + II, \quad (14)$$

или

$$\sigma'' = \sigma_0'' + I_0 + II_0 + I_0 \frac{dI}{d\sigma}. \quad (15)$$

Связь между  $A$  и  $a$  дается формулой (1), из которой можно получить приближенную формулу, обеспечивающую точность 0'',001:

$$(a - A)'' = a' \sin 2A, \quad (16)$$

где

$$a' = -\frac{\rho''}{4} [e^4 \cos^2 \Phi - (e^4 - 2e^6) \cos^4 \Phi - 2e^6 \cos^6 \Phi]. \quad (17)$$

Таблица коэффициентов  $a_1, \beta, \gamma, a'$

$\frac{a''}{\cos^2}$	$a_1$	Изменение на 0,1	$\beta$	Изменение на 0,1	$\gamma$	Изменение на 0,1	$\frac{\Theta}{\cos}$	$a'$	Изменение на 0,1
0,0 + 206 264''806 + 34''748		+ 0''000 + 34''748	+ 0''000 + 0''000	0,0	- 0''000	- 0''000	0,0	- 0''231	
0,1 299,541	,722	34,736	,725	1	2	0,1	0,208	- 0,185	
0,2 334,249	,695	69,449	,701	3	3	0,2	0,371	- 0,140	
0,3 368,932	,669	104,139	,678	7	4	0,3	0,487	- 0,093	
0,4 403,588	,643	138,805	,655	12	6	0,4	0,557	- 0,047	
0,5 438,218	,617	173,448	,631	18	7	0,5	0,581	0,000	
0,6 472,821	,590	208,068	,608	26	9	0,6	0,559	+ 0,046	
0,7 507,399	,564	242,665	,585	36	10	0,7	0,490	+ 0,093	
0,8 541,950	,538	277,238	,562	47	12	0,8	0,374	+ 0,140	
0,9 576,475	,512	311,788	,538	59	13	0,9	0,210	+ 0,187	
1,0 + 206 610,975 + 34,486	+ 346,316 + 34,515	+ 0,073 + 0,014	1,0	- 0''000	+ 0''234				

Выше приводится таблица коэффициентов  $\alpha_1$ ,  $\beta$ ,  $\gamma$  по аргументу  $\cos^2 \alpha_0$  и  $\alpha'$  по аргументу  $\cos^2 \Phi$ . Коэффициент  $\gamma$  из приведенной таблицы находим по интерполяционной формуле

$$y = y_0 + (x - x_0) \left( \frac{dy}{dx} \right)_0, \quad (18)$$

а остальные — по формуле

$$y = y_0 + (x - x_0) \left\{ \left( \frac{dy}{dx} \right)_0 + \left[ \left( \frac{dy}{dx} \right)_1 - \left( \frac{dy}{dx} \right)_0 \right] \frac{x - x_0}{2} \right\}. \quad (19)$$

Найдем, например, коэффициент  $\alpha_1$  при значении аргумента  $\cos^2 \alpha_0 = 0,395410$ . Получим

$$\begin{aligned} \alpha_1 &= 206368'',932 + 0,95410 \{ 34'',669 + [34'',643 - 34'',669] 0,477 \} = \\ &= 206401'',998. \end{aligned}$$

Изложим последовательность решения обратной и прямой геодезических задач.

Обратная геодезическая задача. По формуле

$$\operatorname{tg} \Phi = (1 - e^2) \operatorname{tg} B, \quad (20)$$

или с помощью ряда

$$(B - \Phi)' = 692'',6267 \sin 2B - 1'',1629 \sin 4B + 0'',0026 \sin 6B \quad (21)$$

переходим от геодезических широт к геоцентрическим, после чего в сферическом треугольнике  $A'P'B'$  известны три элемента. Решая его, находим

$$\cos \sigma = \sin \Phi_1 \sin \Phi_2 + \cos \Phi_1 \cos \Phi_2 \cos l; \quad (22)$$

$$\operatorname{tg} \frac{1}{2} (A'_{2,1} + A_{1,2}) = \frac{\cos \frac{1}{2} (\Phi_2 + \Phi_1)}{\sin \frac{1}{2} (\Phi_2 - \Phi_1)} \operatorname{tg} \frac{1}{2} l \quad |$$

$$\operatorname{tg} \frac{1}{2} (A'_{2,1} - A_{1,2}) = \frac{\sin \frac{1}{2} (\Phi_2 + \Phi_1)}{\cos \frac{1}{2} (\Phi_2 - \Phi_1)} \operatorname{tg} \frac{1}{2} l \quad | \quad (23)$$

Здесь  $l = L_2 - L_1$ , а индексы 1, 2 указывают на точки  $A$  и  $B$  соответственно. Далее по формуле (5) определяем  $\alpha_0$ , затем  $\cos^2 \alpha_0$  — аргумент, с которым вычисляем при помощи таблицы коэффициенты  $\alpha_1$ ,  $\beta$  и  $\gamma$ . По формуле (6) получаем  $\sigma_1$ , после чего вычисляем длину дуги центрального сечения по формуле (13). Переход от  $A_{1,2}$  и  $A_{2,1}$  к азимутам центрального сечения  $a_{1,2}$  и  $a_{2,1}$  осуществляется по формуле (16), предварительно вычислив с помощью таблицы коэффициент  $\alpha'$ . Контролем решения задачи на шире является выполнение равенства

$$\sin \sigma = \frac{\cos \Phi_1 \sin l}{\sin A'_{2,1}} = \frac{\cos \Phi_2 \sin l}{\sin A_{1,2}}. \quad (24)$$

Прямая геодезическая задача. По тем же формулам, что и в обратной задаче, переходим от  $B_1$ ,  $a_{1,2}$  к  $\Phi_1$ ,  $A_{1,2}$  и вычисляем  $\alpha_0$ ,  $\sigma_1$ . При этом, с сохранением принятой точности, в формуле (16) считаем  $A_{1,2} = a_{1,2}$ . По формуле (15) вычисляем сферическую дугу  $\sigma$ . Коэффициенты  $\alpha_1$ ,  $\beta$ ,  $\gamma$  и  $\alpha'$ , как и в обратной задаче, находим при по-

моши таблицы. Затем из решения сферических треугольников, показанных на приводимом рисунке, получаем

$$\operatorname{tg} A'_{2,1} = \operatorname{tg} A_0 \sec(\sigma_1 + \sigma); \quad (25)$$

$$\operatorname{tg} \Phi_2 = \cos A_{2,1} \operatorname{tg} (\sigma_1 + \sigma); \quad (26)$$

$$\operatorname{tg} l_1 = \operatorname{tg} \sigma_1 \sin A_0; \quad (27)$$

$$\operatorname{tg} l_2 = \operatorname{tg} (\sigma_1 + \sigma) \sin A_0; \quad (28)$$

$$l = l_2 - l_1. \quad (29)$$

Контролем вычислений служит равенство (24).

Далее вычисляем долготу точки  $B$ ,  $L_2 = L_1 + l$  и по формулам (16) и (20) переходим от  $A_{2,1}$ ,  $\Phi_2$  к  $a_{2,1}$ ,  $B_2$ . Приведем примеры.

#### Обратная геодезическая задача

$B_1$	$+14^{\circ}15'25.''318$	$\frac{1}{2}(A'_{2,1} + 127^{\circ}17'15.''069$	$\sin \sigma$	0,625 072
		$+ A_{1,2})$		
$B_2$	$-9^{\circ}54'49.123$	$\frac{1}{2}(A'_{2,1} - 0^{\circ}36'11.322$	$\cos(2\sigma_1 + \sigma)$	0,992 290
		$- A_{1,2})$		
$L_1$	$-17^{\circ}53'44.117$	$A_{1,2}$	$\sin 2\sigma$	0,976
$L_2$	$+12^{\circ}41'10.213$	$A'_{2,1}$	$\cos 2(2\sigma_1 + \sigma)$	0,969
$l$	$+30^{\circ}34'54.330$	$A_{2,1}$		
$\frac{1}{2}l$	$+15^{\circ}17'27.165$		$\sigma''$	139 275''028
			$\sin \Phi_1$	0,2447 2289
$\operatorname{tg} \Phi_1$	0,2523 9753	$\sin \Phi_2$	$-\sin \Phi_1$	$-I$
			$-0,1710 4516$	$-II$
$\operatorname{tg} B_1$	0,2540 9832	$\cos \Phi_1$	$0,9695 9306$	$\frac{s}{a} \alpha_1$
$1 - e^2$	0,9933 0658	$\cos \Phi_2$	$0,9852 6319$	$s$
$\operatorname{tg} B_2$	$-0,1747 7336$	$\cos l$	$0,8609 0405$	4 306 513, 6 $\lambda$
$\operatorname{tg} \Phi_2$	$-0,1736 0353$	$\cos \sigma$	$0,7805 6671$	$\cos^2 \Phi_1$
$\Phi_1$	$+14^{\circ}09'55.''649$	$\sigma$	$38^{\circ}41'15.''028$	$\alpha'_1$
$\Phi_2$	$-9^{\circ}50'54.934$	$2\sigma_1$	$-45^{\circ}48'25.2$	$-0.''131$
$\frac{1}{2}(\Phi_2 - \Phi_1)$	$+2^{\circ}09'30.358$	$2\sigma_1 + \sigma$	$\sin 2A_{1,2}$	-0,958
$\frac{1}{2}(\Phi_2 - \Phi_1)$	$-12^{\circ}00'25.292$		$\alpha_{1,2} - A_{1,2}$	0''125
			$\alpha_{1,2}$	126°41'03''872
		$\sec A_{1,2}$	$-1,6739 0$	$\cos^2 \Phi_2$
$\cos \frac{1}{2}(\Phi_2 - \Phi_1)$	0,9781 2210	$\operatorname{tg} \sigma_1$	$-0,4224 89$	$\alpha'_2$
$\sin \frac{1}{2}(\Phi_2 + \Phi_1)$	0,0376 6284	$\sigma_1$	$-22^{\circ}54'12.''6$	$\sin 2A_{2,1}$
$\operatorname{tg} \frac{1}{2}l$	0,2733 9795			$\alpha_{2,1} - A_{2,1}$
$\cos \frac{1}{2}(\Phi_1 + \Phi_2)$	0,9992 9050	$\cos^2 \alpha_0$	0,395 410	$\alpha_{2,1}$
$\sin \frac{1}{2}(\Phi_2 - \Phi_1)$	$-0,2080 3162$	$\alpha_1$	$206^{\circ}401.''998$	контроль
$\operatorname{tg} \frac{1}{2}(A'_{2,1} + A_{1,2})$	$-1,3132 8100$	$\beta$	137, 215	$\frac{\cos \Phi_1 \sin l}{\sin A'_{2,1}}$
$\operatorname{tg} \frac{1}{2}(A'_{2,1} - A_{1,2})$	0,0105 2726	$\gamma$	0,012	$\frac{\cos \Phi_2 \sin l}{\sin A_{1,2}}$

**Прямая геодезическая задача**

$B_1$	$+14^{\circ}15'25''318$	$\sigma_0$	$38^{\circ}42'40''125$	$A_{2,1}$	$307^{\circ}53'26''394$
$L_1$	$-17^{\circ}53'44.117$	$I_0$	$-1^{\circ}25.156$	$\alpha_{2,1}$	$307^{\circ}53'26.458$
$\alpha_{1,2}$	$126^{\circ}41'03.872$	$II_0$	$0.011$		
$s$	$4^{\circ}306'513.6$	$I_0 \left( \frac{dI}{ds} \right)_0$	$0.048$	$B_2$	$-9^{\circ}54'49''123$
		$\sigma$	$38^{\circ}41'15''028$	$\Phi_2$	$-9^{\circ}50'54.934$
$\Phi_1$	$14^{\circ}09'55''649$			$\operatorname{tg} \Phi_2$	$-0.1736 0353$
$A_{1,2}$	$126^{\circ}41'03.747$	$\sin \sigma_0$	$0.625 394$	$\cos A_{2,1}$	$-0.6141 5663$
$\sigma_1$	$-22^{\circ}54'12.644$	$\cos(2\sigma_1 + \sigma_0)$	$0.992 341$	$\operatorname{tg}(\sigma_1 + \sigma)$	$0.2826 6980$
$\sigma_1 + \sigma$	$15^{\circ}47'02.384$	$2\sigma_0$	$77^{\circ}25'$	$\sin A_0$	$0.7775 5410$
$2\sigma_1 + \sigma_0$	$-7^{\circ}05'45.2$	$2(2\sigma_1 + \sigma_0)$	$-14^{\circ}12'$	$\operatorname{tg} \sigma_1$	$-0.4224 8878$
		$2(\sigma_1 + \sigma_0)$	$31^{\circ}37'$	$\operatorname{tg} l_2$	$0.2197 9106$
$\sin A_{1,2}$	$0.8019 3860$	$\sin 2\sigma_0$	$0.976$	$\operatorname{tg} l_1$	$-0.3285 0788$
$\cos \Phi_1$	$0.9695 9306$	$\cos 2(2\sigma_1 + \sigma_0)$	$0.970$	$l_2$	$12^{\circ}23'45''598$
$\sin \sigma_0$	$0.7775 5410$	$\cos 2(\sigma_1 + \sigma_0)$	$0.852$	$l_1$	$-18^{\circ}11'08.734$
$\cos^2 \sigma_0$	$0.395 410$			$l$	$+30^{\circ}34'54.332$
$\alpha_1$	$206^{\circ}401''998$	$\operatorname{tg} A_0$	$-1.2365 3667$	$L_2$	$+12^{\circ}41'10.215$
$\beta$	$137^{\circ}215$	$\sec(\sigma_1 + \sigma)$	$1.0391 8343$		контроль
$\gamma$	$0.012$	$\operatorname{tg} A_{2,1}$	$-1.2849 8842$	$\sin l \cos \Phi_2$	$0.5012 6975$
		$A_{2,1}$	$127^{\circ}53'26''394$	$\sin \sigma \sin A_{1,2}$	$0.5012 6976$

Исходные данные для примеров взяты из [4], где по ним решены геодезические задачи по способу Бесселя. Расхождение в длине геодезической линии и центрального сечения получилось  $0.2\text{ м}$ .

Анализ приведенного решения показывает, что вычисления здесь по сравнению с решениями аналогичных задач по геодезической линии упрощаются. Можно ожидать, что рассмотренный способ найдет применение на практике. Его использование будет целесообразным в тех случаях, когда геодезическая линия может или должна быть заменена центральным сечением, а также для контроля решения геодезических задач методом Бесселя, в особенности обратной, так как переход от длины центрального сечения к длине геодезической линии сравнительно прост.

**ЛИТЕРАТУРА**

- Ганьшин В. Н. Формулы для решения геодезических задач на сфероиде по геодезическим координатам. Изв. вузов, Геодезия и аэрофотосъемка, вып. 6, 1958.
- Мигаль Н. К. Теория совместного определения фигуры и размеров Земли. Науч. зап. Львов. политехн. ин-та, вып. 15, сер. геодез., № 1, 1949.
- Морозов В. П. Методы решения геодезических задач на поверхности земного эллипсоида. М., 1958.
- Рабинович Б. Н. Практикум по высшей геодезии, 2-е изд-е. Геодезиздат, 1961.
- Буткевич А. В. Исследования по решению вычислительных задач сфероидической геодезии. М., «Недра», 1964.

Работа поступила  
26 апреля 1968 г